GaAs 半导体中三光子吸收的 非线性光电导测量

程 昭 徐大纶 王力鸣* 侯 洵

(中国科学院西安光学精密机械研究所瞬态光学技术实验室,陕西,西安,710068)

摘要: 采用非线性光电导技术测量 2.06 μm 激光激发的 GaAs 本征半导体三光子吸收,观察到三光子和单光子吸收的混合光电导,测得了三光子吸收系数.测量结果与理论计算符合较好.

关键词: 三光子吸收, 非线性光电导.

引言

多光子吸收过程是一种高阶非线性光学过程,它不仅与材料损伤阈值密切相关,而且在固体物理基础研究方面 (例如能带结构信息及超短光脉冲与半导体相互作用过程) 有着重要的意义和应用前景. 对 GaAs 半导体材料中多光子吸收作过的许多工作都局限于1.06 μm 激光激发下的双光子吸收过程^[1],而对 GaAs 三光子吸收的实验研究还未见报道.

我们采用非线性光电导 (NLP) 测量技术观测了 $2.06\,\mu\mathrm{m}$ 激光照射下 GaAs 本征半导体的非线性电导效应. GaAs 的禁带宽度为 $1.43\,\mathrm{eV}$,使用调 Q YLF 激光,光子能量为 $0.602\,\mathrm{eV}$,满足三光子吸收条件 $2h\omega < E_s < 3h\omega$. 由此可预计光电导的变化主要为三光子吸收的贡献. 实验测得的三光子吸收系数与二能带理论模型及 Keldysh 理论模型计算的 三光子吸收系数符合较好.

1 实验装置与测量方法

测量 GaAs 三光子吸收的 NLP 装置如图 1 所示. 调 Q YLF 激光器产生波长 $\lambda = 2.06$ μ m,激光脉冲宽度 $\tau_L = 80$ ns. 该激光脉冲通过滤光片 F 和衰减片 A,经分束镜 BS 后,分路由能量计 ED 探测并记录,主路经透镜 L 聚束照射在 GaAs 样品 S 上. 产生的电流脉冲经 RC 电路积分后形成的电压脉冲显示在示波器 BO 上. 用衰减片 A 改变激光脉冲光强,测量不同光强下产生的电流脉冲总电荷量.

本文 1991年5月16日收到,修改稿 1991年10月28日收到.

^{*}现在中山大学激光与光谱学研究所,广东,广州,510275.

根据图 1 中的 RC 电路可以得到激光脉冲引起电容 C 的电压的变化量为:

$$\Delta V_c(t) = \frac{V}{C} \exp\left[-\frac{t}{RC}\right] \int_{-\infty}^{\infty} \Delta G(t) dt.$$
 (1)

这样,光脉冲所感应的总电荷为

$$Q = \Delta V_{C_{\max}} C = V \int_{-\infty}^{\infty} \Delta G(t) dt = V C_0, \qquad (2)$$

式 (2) 中 $C_0 = \int_{-\infty}^{\infty} \Delta G(t) dt$, ΔV_{Cmax} 是示波器上的电压脉冲峰值, V 为外加直流电压, $\Delta G(t)$ 是激光脉冲引起的光电导. 从下文的理论分析可知 C_0 是与吸收系数及光强有关的量,因此通过测量总电荷可得出三光子吸收系数.

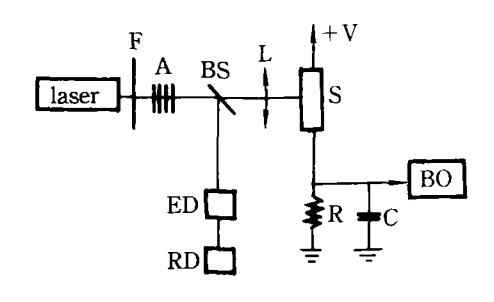


图 1 三光子吸收的 NLP 实验测量装置示意图 Fig. 1 Schematic diagram of the experimental set-up for NLP measurement of three-photon absorption

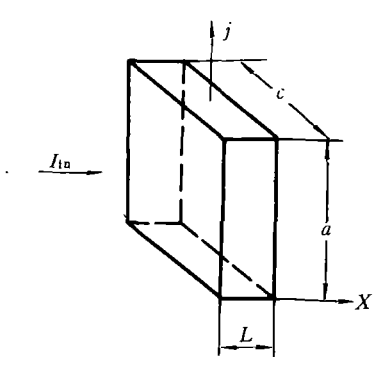


图 2 光电导体示意图 Fig. 2 Schematic of a photoconductor

2 光电导的理论分析

已知载流子浓度 P 随时间的变化服从扩散方程为

$$\frac{\partial P}{\partial t} = D \nabla^2 P - \mu \nabla \cdot (P\vec{E}) + F - \frac{P - P_0}{\tau}, \tag{3}$$

式 (3) 中 D 为扩散系数, μ 为迁移率,E 为所加电场, τ 自由载流子寿命, P_0 为平衡时载流子浓度,F 为光照引起单位体积中载流子的产生率。式 (3) 决定了载流子浓度 P 的空间和时间特性。如果对任何特定的初始条件和边界条件都能求解方程 (3),便可得到任意时刻和任意位置 (x,y,z) 的载流子浓度。但在一般情况下不可能做到这一点,只能对几种特,殊情况求解。Yee P_0 给出了稳态时的方程 (3) 的解。这里我们就矩形脉冲激发下方程 (3) 的近似解作一说明。

激光脉冲激发下的光电导体如图 2 所示. 假设 y、z 方向浓度均匀分布,仅考虑 x 方向的浓度扩散. 令 $\Delta P = P - P_0$,则式 (3) 变为

$$\frac{\partial \Delta P}{\partial t} = D \frac{\partial^2 \Delta P}{\partial x^2} + F - \frac{\Delta P}{\tau}$$
 (4)

在三光子吸收的情况下,由 Beer-Lambert 定律 $\partial I(x)/\partial x = -\alpha_3 I^3(x)$ (α_3 为三光子吸收 系数) 及单位体积的跃迁速率 W3 [3]可得

$$F = W_3 = \frac{\alpha_3 I^3(x)}{6\hbar\omega} = \frac{\alpha_3 I_0^3 (1 - R)^6}{6\hbar\omega [1 + 2\alpha_3 x I_0^2 (1 - R)^3]^{3/2}}$$
 (5)

其中 I_0 为入射光强,R 为样品反射率。在宽度为 τ_L 的矩形激光脉冲激发下,有

$$F(x,t) = \begin{cases} F(x), & -\tau_L < t < 0 \\ 0, & \text{其它} \end{cases}$$
 (6)

同时,由于扩散过程与激发过程相比变化很慢,在 $-\tau_L < t < 0$ 时,式 (4) 右边第一项可 以忽略,得到

$$\Delta P(x,t) = \tau \left[1 - \exp\left(-\frac{t + \tau_L}{\tau}\right) \right] F(x). \tag{7}$$

当 t > 0 时,F(x, t) = 0,考虑到边界条件

$$-D\left.\frac{\partial\Delta P(x,t)}{\partial x}\right|_{x=0} = -S\Delta P(x,t)|_{x=0} = -SP_0, \tag{8}$$

$$-D \left. \frac{\partial \Delta P(x,t)}{\partial x} \right|_{x=L} = S\Delta P(x,t)|_{x=L} = SP_L, \tag{9}$$

(其中 S 为表面复合速率), 可得式 (4) 的解 $\Delta P(x, t)$.

由电导率的定义 $\sigma = P(x,t) e \mu_h + N(x,t) e \mu_e$ (其中 μ_e , μ_h 分别为电子和空穴的迁 移率, N(x, t)、 P(x, t) 分别为电子和空穴的浓度), 假设 $\Delta P(x, t) = \Delta N(x, t)$, 则得到光 电导为

$$\Delta G = \int_0^L \Delta \sigma(x) \frac{c}{a} dx = \frac{ce}{a} (\mu_h + \mu_e) \int_0^L \Delta P(x, t) dx.$$
 (10)

将式 (7) 及 t > 0 时式 (4) 的解 $\Delta P(x, t)$ 代人式 (10), 积分得到

$$\begin{cases}
\Delta G(t) = \frac{ce}{a} \left(\mu_e + \mu_h\right) \tau \left(1 - e^{\frac{-t + \tau_I}{\tau}}\right) \int_0^L F(x) \, dx, & (-\tau_L < t < 0), \\
\Delta G(t) = \frac{ce}{a} \left(\mu_e + \mu_h\right) \tau \left(1 - e^{\frac{-t + \tau_L}{\tau}}\right) \exp\left(-\frac{t}{\tau}\right) x
\end{cases}$$

$$\left[1 - \frac{2\xi}{\lambda} \frac{1 - \exp\left(-\frac{t}{\tau}\right)}{1 + \xi \operatorname{ctgh}\left(\frac{\lambda}{2}\right) (1 - e^{-t/\tau})}\right] \int_0^L F(x) \, dx, & (\tau > 0), \tag{12}
\end{cases}$$

$$\left[1 - \frac{2\xi}{\lambda} \frac{1 - \exp\left(-\frac{t}{\tau}\right)}{1 + \xi \operatorname{ctgh}\left(\frac{\lambda}{2}\right)(1 - e^{-t/\tau})}\right] \int_{0}^{L} F(x) \, dx, \quad (\tau > 0), \tag{12}$$

式中
$$\xi = S\sqrt{\frac{\tau}{D}}$$
, $\lambda = \frac{L}{\sqrt{\tau D}}$.

3 实验结果与讨论

从 $-\tau_L$ 到 ∞ 对式 (11)、(12) 积分,并考虑到式 (12) 中括号内的第二项对于 D 和 S 的典型数值^[5]可忽略,这样可得

$$C_0 = e(\mu_h + \mu_e) \frac{C\tau\tau_L}{a} \int_0^L F(x) dx.$$
 (13)

将式 (13) 代入式 (2), 在 $2\alpha_3 I_0 L(1-R)^2 \ll 1$ 时有

$$Q = \Delta V_{C_{\text{max}}} C = Ve(\mu_h + \mu_e) \tau \tau_L \frac{c}{a} \cdot \frac{\alpha_3 I_0^3 L(1-R)^6}{6\hbar\omega} . \tag{14}$$

式 (14) 表明 Q 与 I3 成正比.

图 3 是我们测得的电荷 Q 随光强 I_0 的变化曲线,可以看出,光强小于~18 MW/cm² 时,曲线的斜率近似为 1,表明单光子过程占优势;当光强大于~18 MW/cm² 时,曲线的斜率近似为 3,表明三光子吸收占优势。

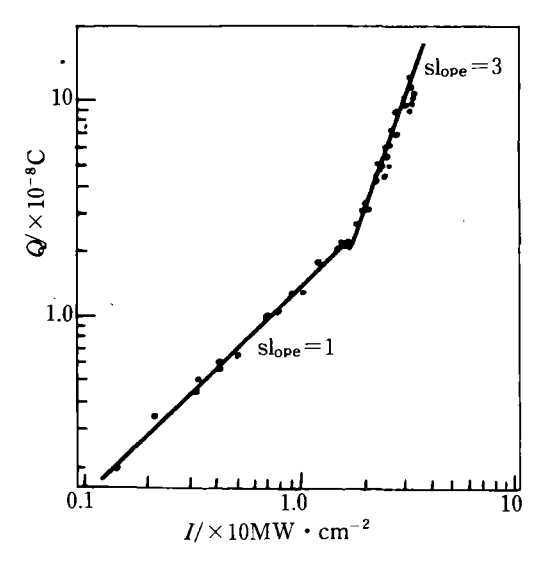


图 3 GaAs 的非线性光电导

Fig. 3 Nonlinear photoconductivity of GaAs

实验中使用 $V=1100\,\mathrm{V},~C=12.6\,\mathrm{nF},~\tau_L=80\,\mathrm{ns},~$ 取 $\mu_h=400\,\mathrm{cm}^2/\mathrm{s}.\mathrm{V}^{[4]},~\mu_e=8500\,\mathrm{cm}^2/\mathrm{s}.\mathrm{V},~a=c,~t=10^{-8}\,\mathrm{s}^{[5]},~I_0=25\,\mathrm{MW/cm}^2,~$ 从图 3 及式 (14) 得到 $\alpha_3=2.83\times10^{-1}\,\mathrm{cm}^3/\mathrm{GW}^2.$ 这一实验测量结果与用二能带理论模型算得的 $\alpha_3=1.79\times10^{-1}\,\mathrm{cm}^3/\mathrm{GW}^2$ 行合较好.

参考文献

- 1 Stewart A F, Bass M. Appl. Phys. Lett., 1980, 37, 1040
- 2 Yee Jick H. Appl. Phys. Lett., 1969, 15: 431
- 3 Nathan Vaidya, Guenther A H et al. J. Opt. Soc. Am., 1985, B2: 294
- 4 Omar M.A. Elementary Solid State Physics: Principles and Applications, Massachusetts: Addison-Wesley, 1975, 273
- 5 Yee Jick H. Appl. Phys. Lett., 1969, 14: 231
- 6 程昭, 徐大纶等. 光子学报, 1992, 21(4)
- 7 Mitra SS, Judell NHK. Opt. Lett., 1982, 7: 307

NONLINEAR PHOTOCONDUCTIVITY MEASUREMENT OF THREE-PHOTON ABSORPTION IN GaAs

Cheng Zhao, Xu Dalun, Wang Liming*, Hou Xun

(Laboratory for Transient Optics Technology, Xi'an Institute of Optics and Precision Mechanics, Chinese Academy of Sciences, Xi'an, Shaanxi 710068, China)

Abstract: By using nonlinear photoconductivity (NLP) technique, the experimental investigation on three-photon absorption processes in an intrinsic GaAs semiconductor illuminated by a pulsed laser at $2.06 \,\mu m$ is described. Hybrid photoconductivity of three-photon and single photon absorption has been observed. Three-photon absorption coefficient has been measured, and the experimental value is in good agreement with the theoretical results.

Key words: three—photon absorption, nonlinear photoconductivity.

^{*}Institute for Laser and Spectroscopy, Zhongshan University, Guangzhou, Guangdong 510275, China.